

# 1<sup>re</sup> Journée Scientifique d'Orthophonie

## - Vendredi 22 octobre 2021 -

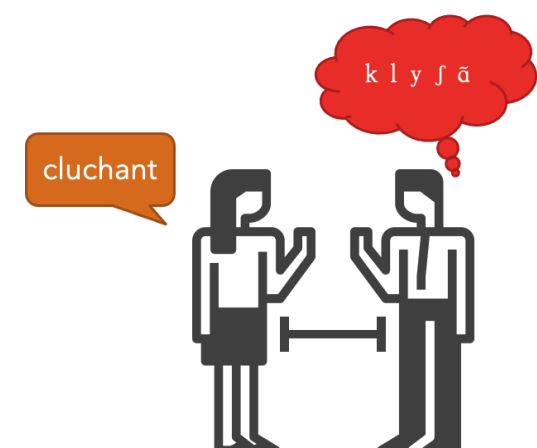


## Mesure de l'intelligibilité après cancer oral ou oropharyngé par un système de reconnaissance automatique de la parole

Mathieu Balaguer,  
Lucile Gelin, Virginie Woisard, Jérôme Farinas, Julien Pinguier

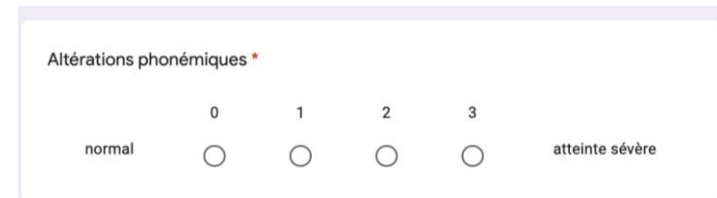
# Contexte

- Cancers de la cavité buccale et de l'oropharynx (Santé publique France, 2019)
  - Fréquents : 13 692 cas en 2018
  - Localisation lèvres-bouche-pharynx : conséquences sur les capacités de parole (Barrett et al., 2004; Borggreven et al., 2007; Colangelo et al., 2000; DeNittis et al., 2001; Mlynarek et al., 2008; Stelzle et al., 2013)
- Dégradation de l'intelligibilité de la parole
  - Concerne les déficits de bas niveau (Lindblom, 1990; Hustad, 2008)
  - Définition consensuelle après enquête DELPHI (Pommée et al., 2021)
    - Relative à la reconstruction d'un énoncé au niveau acoustico-phonétique
    - Informations relatives à l'intelligibilité véhiculées par le signal acoustique
    - En jeu dans les énoncés où les processus cognitifs de compensation ne sont pas mis en jeu : pseudo-mots, phrases non prévisibles...



# Contexte

- Évaluation perceptive de l'intelligibilité
  - Évaluation globale au moyen d'échelles de Likert
    - Intelligibilité globale
    - Paramètres spécifiques type « distorsions phonétiques »
  - Reconnaissance de pseudo-mots
    - Transcriptions de syllabes ou pseudo-mots
  - Limites
    - Manque de standardisation des épreuves (Pommée et al., 2020) et des outils de mesure
    - Variabilités inter- et intra-juges (Fex, 1992; Van Nuffelen et al., 2009)



## □ Test Phonétique d'Intelligibilité

Exemple tiré de la batterie BECD

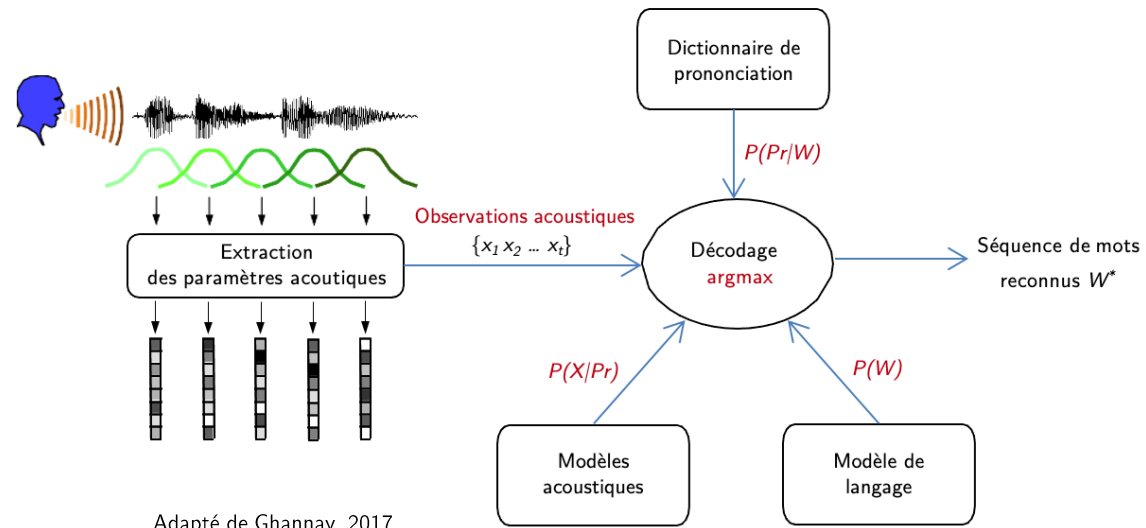
N°1	Types d'erreurs													
	+/-	A	B	C	D	E	F	G	H	I	J	K	L	M
1	ses oui	si oui	série	scierie										
2	donna	donnant	tonna	tonnant										
3	tes doigts	tes draps	des draps	des doigts										
4	mâcher	masser	basset	bâcher										
5	ses oui	si oui	série	scierie										
6	début	débute	des bouts	déboute										
	l'âge	les dômes	les galos	l'âge										

# Contexte

- Évaluation automatique
  - Développement récent d'outils utilisables en pratique courante
    - MonPaGe (<https://lpp.in2p3.fr/monpage/>; Pernon et al., 2020)
    - Traitement automatique de tâches de répétition de pseudo-mots (projets C2SI, RUGBI)
  - Quelle tâche support de parole ? (Balaguer et al., 2020)
    - Analyses acoustiques et automatiques portent majoritairement
      - Sur des phonèmes isolés
      - Plus spécifiquement, sur des voyelles tenues, voire sur des phonèmes extraits de texte
    - Pas d'étude menée sur de véritables situations de parole spontanée non contrainte
      - Pourtant la plus représentative de l'expression orale dans la vie quotidienne (Knuijt et al., 2017)

# Contexte

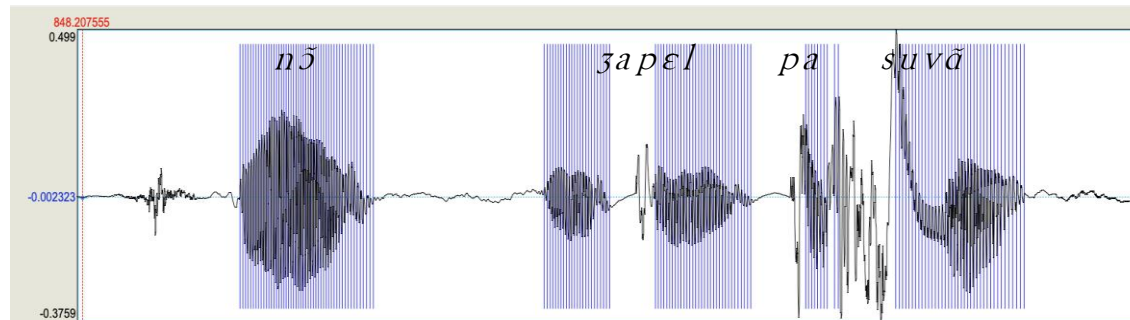
- Utilisation de systèmes de reconnaissance automatique de la parole (RAP)
  - Permettent de produire une séquence d'unités (mots ou sons élémentaires = phones) à partir du signal acoustique selon une approche probabiliste



# Objectif

## Objectif

**Prédire l'intelligibilité de la parole après traitement d'un cancer oral ou oropharyngé au moyen de scores issus d'un système de reconnaissance automatique de la parole**



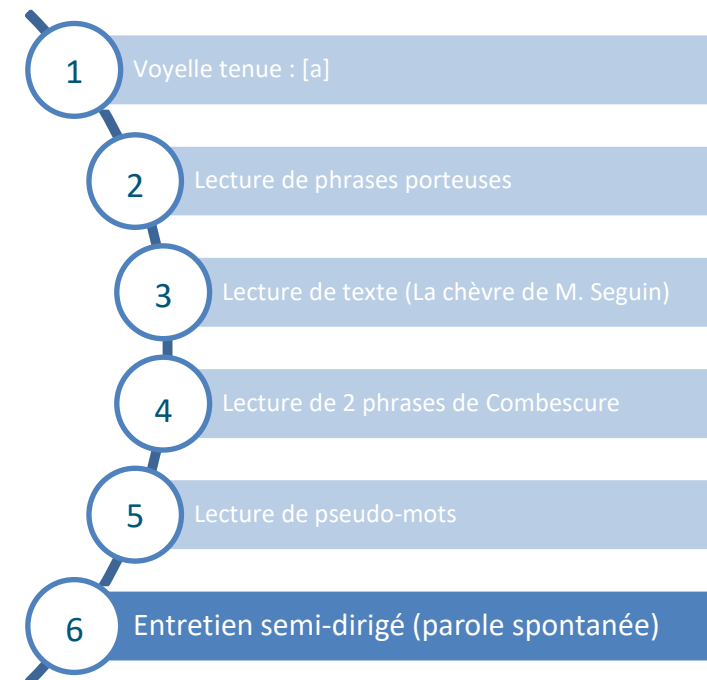
# Inclusion / Non inclusion

- Projet RUGBI (ANR-18-CE45-0008)

Critères d'inclusion	Critères de non inclusion
<ul style="list-style-type: none"><li>▪ Adultes</li><li>▪ Francophones natifs</li><li>▪ Traités pour un cancer de la cavité buccale ou de l'oropharynx depuis plus de 6 mois</li><li>▪ En rémission clinique depuis plus de 6 mois</li></ul>	<ul style="list-style-type: none"><li>▪ Patients fatigables</li><li>▪ Autre pathologie responsable d'un trouble de la parole</li><li>▪ Présence de troubles cognitifs</li></ul>

# Enregistrements de parole

- Enregistrements de parole spontanée au cours d'un entretien semi-dirigé
  - Contexte d'entretien semi-dirigé équivaut à une véritable situation de parole spontanée (Prins & Bastiaanse, 2004)
  - Salle non anéchoïque
    - Enregistreur numérique
    - Micro serre-tête 6 cm de la bouche du sujet



# Analyse perceptive

- Analyse perceptive de la parole
  - Jugement perceptif (mesure de référence de la sévérité du trouble de parole) (Balaguer et al., 2019)
    - 6 auditeurs « experts »
    - Évaluation sur une échelle de 0 (très sévère) à 10 (absence de trouble) :



<https://care.easiware.fr/fr-FR/Post/56>

- Intelligibilité (de 0 – très sévère – à 10 – absence de trouble)

# Analyse automatique de la parole

- Analyse automatique de la parole (RAP)
  - Architecture de type Time-Delay Neural Network factorisé ou TDNNf-HMM (Povey, 2018)
  - Adapté à la parole non typique (Gelin et al., 2021)

## Entraînement

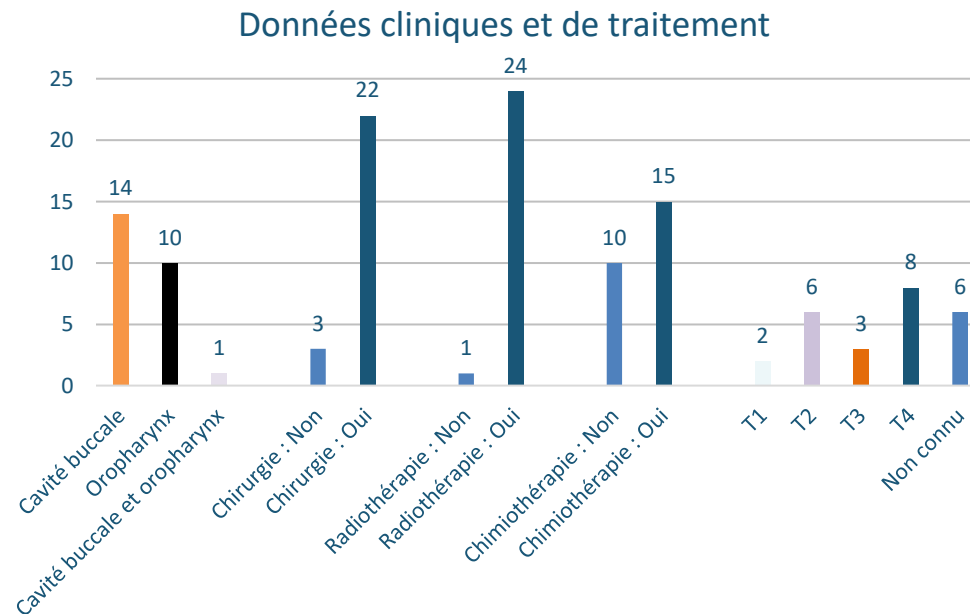
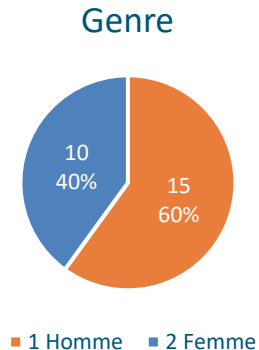
- Corpus Common Voice, septembre 2019 (parole typique) :  
<https://commonvoice.mozilla.org/fr>

## Décodage

- Segments de parole du sujet seul, sur la tâche d'entretien semi-dirigé (Google WebRTC-VAD <https://github.com/wiseman/py-webrtcvad>)
- Détection parmi 33 phonèmes du français  
18 consonnes, 12 voyelles, 3 semi-consonnes
- Score de confiance associé à chaque phonème par méthode Minimum Bayes Risk (Xu et al., 2011)

# Résultats

- Description de l'échantillon

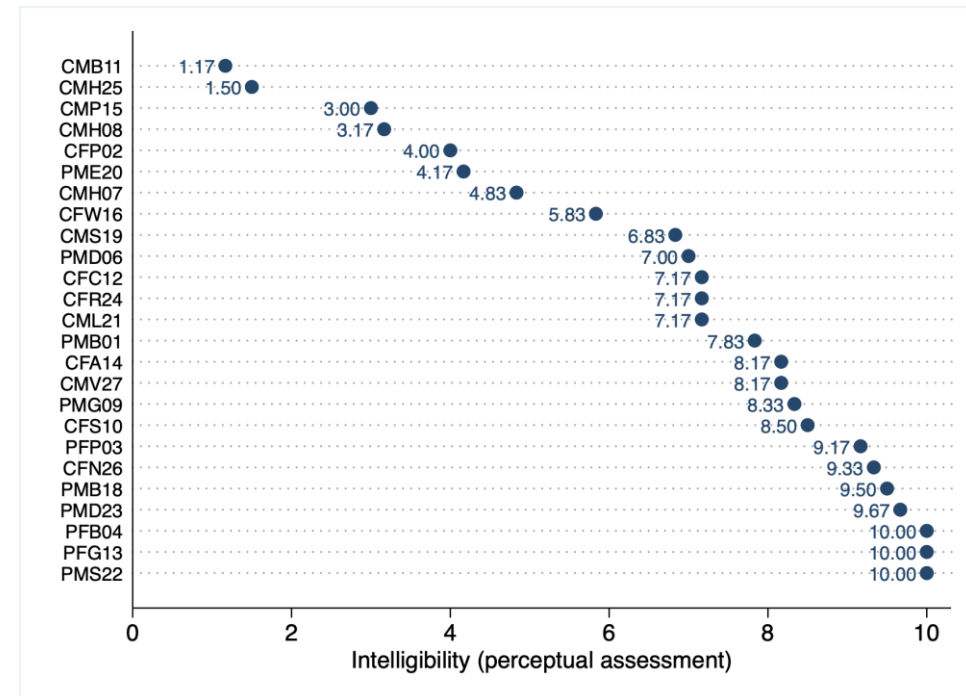


Délai depuis traitement

$m = 87$  mois ( $Me = 40$ )  
 $s = 121$  mois ( $EIQ = 123$ )

# Analyse perceptive

- Évaluation perceptive de l'intelligibilité



# Analyse automatique

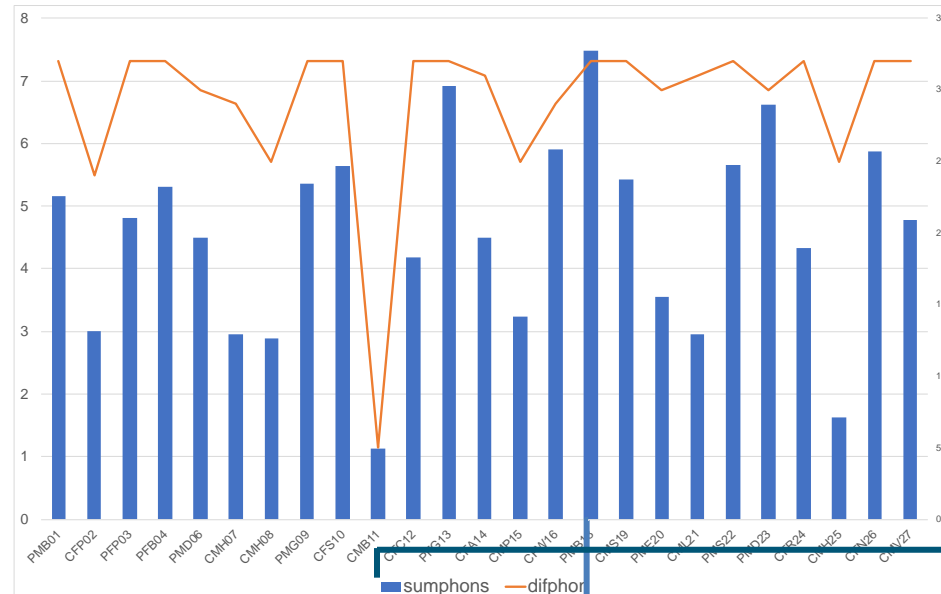
- Inventaire phonémique, par sujet
  - Nombre de phonèmes reconnus par seconde (1 paramètre)
  - Nombre total de phonèmes différents reconnus (1 paramètre)
  - Plus précisément
    - Nombre de consonnes, de voyelles, de semi-consonnes, d'occlusives, de fricatives, de sonantes, de non sonantes par seconde (7 paramètres)
    - Proportion de chaque type (7 paramètres)

PFB04-ECV-16k\_mono\_299\_84999999996904\_303\_26999999996593  
PFB04-ECV-16k\_mono\_304\_4999999999648\_305\_2799999999641  
PFB04-ECV-16k\_mono\_305\_8199999999636\_308\_54999999996113  
PFB04-ECV-16k\_mono\_313\_6199999999565\_314\_6399999999556  
PFB04-ECV-16k\_mono\_321\_9899999999489\_322\_6499999999483  
PFB04-ECV-16k\_mono\_322\_8899999999481\_324\_14999999994694  
PFB04-ECV-16k\_mono\_324\_2099999999469\_325\_2899999999459  
PFB04-ECV-16k\_mono\_328\_6199999999429\_329\_9099999999417  
PFB04-ECV-16k\_mono\_32\_61000000000475\_35\_28000000000058  
PFB04-ECV-16k\_mono\_330\_29999999994135\_331\_61999999994015  
PFB04-ECV-16k\_mono\_332\_9999999999389\_334\_5599999999375  
PFB04-ECV-16k\_mono\_336\_11999999993606\_338\_0699999999343  
PFB04-ECV-16k\_mono\_339\_5699999999329\_340\_61999999993196  
PFB04-ECV-16k\_mono\_346\_55999999992656\_348\_20999999992506

M E N a A~ e P A E E a M D F a M V P a T o~ T R E~  
O E M E E~ K u R S O M Z H E N P E~ B G e E~  
M y o~  
N o~  
L Z H E N  
M W E~ D F W a O E Z  
Z H E R e a R Z H  
a o~  
B e A~  
Z H a G u F N

# Analyse automatique

Phonème	Nombre d'occurrences
a	401
E	259
S	244
L	230
R	220
P	200
K	189
T	170
i	168
M	156
A~	151
E~	128
D	118
e	114
N	95
ZH	91
y	88
O	88
AE	86
V	82
F	68
J	65
u	51
B	45
o~	38
SH	28
Z	28
W	23
G	20
o	17
H	16
NJ	4
	2



Phonème	Nombre d'occurrences
a	110
R	21
E~	8
A~	1
AE	1



# Analyse automatique

- Analyses des scores de confiance à la sortie du TDNN

- Calcul

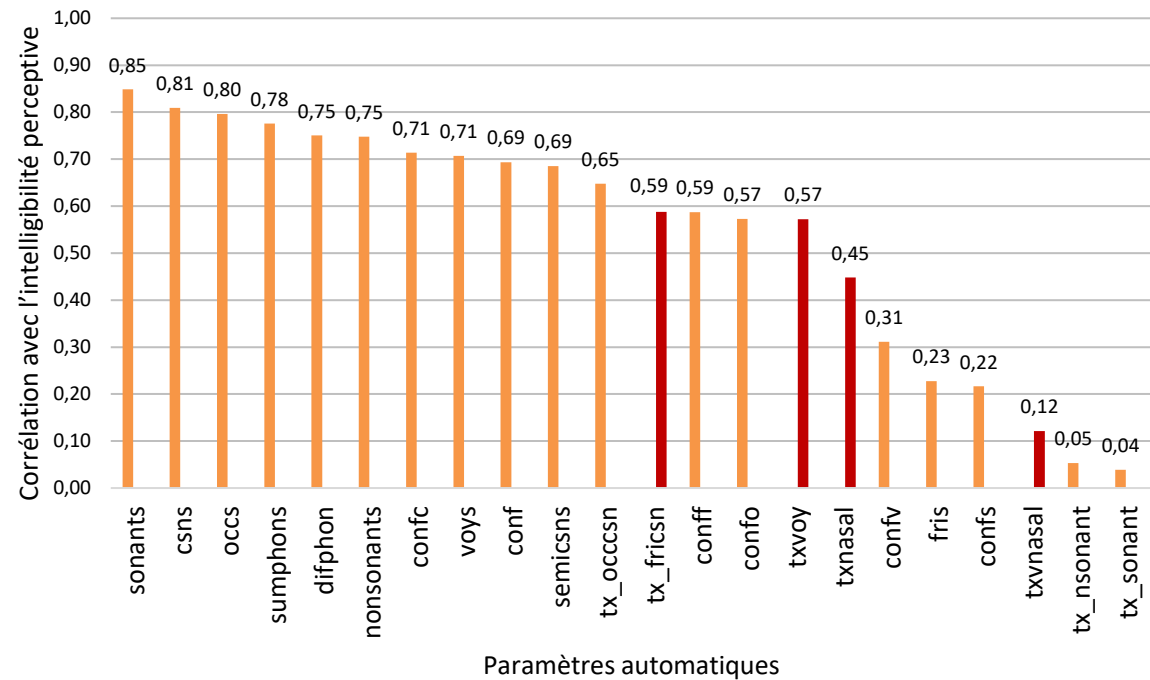
- Score de confiance moyen global  
(1 paramètre)
    - Score de confiance moyen sur les consonnes, les voyelles, les semi-consonnes, les occlusives et les fricatives  
(5 paramètres)

CFC12-ECV-16k_mono_1012_979999993205_1017_92999999316	1	4.30	0.23	AE	0.76
CFC12-ECV-16k_mono_1018_289999993157_1018_949999993151	1	0.03	0.03	P	0.94
CFC12-ECV-16k_mono_1018_289999993157_1018_949999993151	1	0.06	0.16	a	1.00
CFC12-ECV-16k_mono_1018_289999993157_1018_949999993151	1	0.22	0.08	R	0.71
CFC12-ECV-16k_mono_1023_1199999993113_1036_82999999299	1	0.03	0.10	J	0.48
CFC12-ECV-16k_mono_1023_1199999993113_1036_82999999299	1	0.81	0.06	V	0.38

CFC12	
Score global	0,82773995
Consonnes	0,86108392
Voyelles	0,79563898
Semi-consonnes	0,72224998
Occlusives	0,92210525
Fricatives	0,84257793

# Modélisation

- Analyse bivariée entre chacun des 22 paramètres et l'intelligibilité
  - Coefficients de corrélation de Spearman



# Résultats

- Modélisation par sélection des paramètres au moyen d'une régression LASSO (Tibshirani, 1996)
  - Imputation des deux données manquantes : scores de confiance occlusives et semi-consonnes de CMB11
  - 3 variables explicatives retenues :
    - ▷ proportion d'occlusives parmi les consonnes (*tx\_occcsn*)
    - ▷ nombre de sonantes par seconde (*sonants*)
    - ▷ score de confiance moyen sur les fricatives (*conf*)
    - ▷ ~~nombre d'occlusives par seconde (occ\$)~~ (*multicolinéarité*)

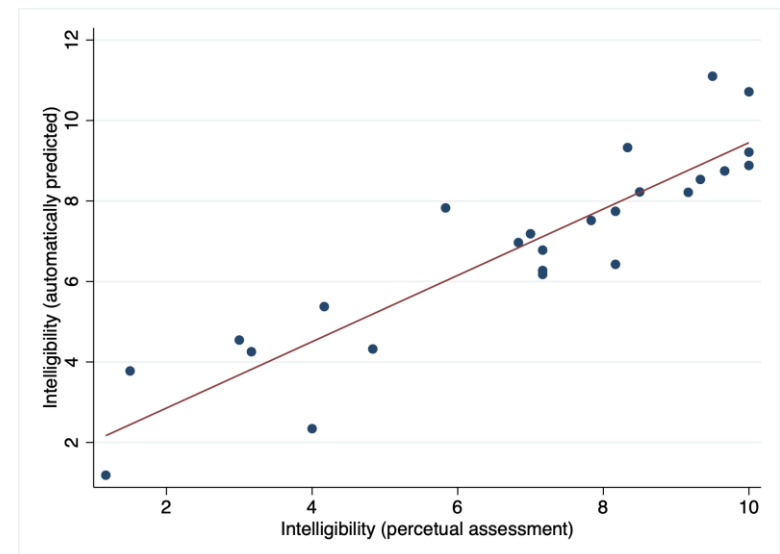
$$\text{Intelligibilité} = -0,073 + (6,188 \times \textit{tx\_occcsn}) + (4,982 \times \textit{sonants}) + (0,851 \times \textit{conf})$$

# Résultats

- Modélisation par sélection des paramètres au moyen d'une régression LASSO  
(Tibshirani, 1996)

$$\text{Intelligibilité} = -0,073 + (6,188 \times \text{tx\_occcsn}) + (4,982 \times \text{sonants}) + (0,851 \times \text{conf})$$

- RMSE=1,21
- $R^2=0,824$
- Corrélation entre intelligibilité perceptive et intelligibilité prédictive :  $r_s=0,91$  ( $p<0,001$ )
- Validation croisée :
  - 5 blocs :  $r_s=0,90$  ( $p<0,001$ )
  - « Leave one out » :  $r_s=0,90$  ( $p<0,001$ )



# Conclusion

L'intelligibilité peut être prédite de façon correcte et fiable au moyen de 3 paramètres issus d'une analyse automatique de la parole spontanée par un système de RAP

Élargir la taille de l'échantillon de l'étude

- Généralisabilité des résultats
- Mise en évidence de déficits plus fins après entraînement sur de la parole pathologique ?

Optimiser la mesure automatique de la parole pathologique

- Manque de corpus +++
- Entraînement sur de la parole pathologique par transfer learning (Gelin et al., 2021; Wang et al., 2015)

Rendre les résultats applicables en clinique courante

- Intérêts cliniques des systèmes de reconnaissance automatique de la parole
  - Applicables à l'étude de la parole spontanée
  - Scores fiables
  - Équipement requis minimal et peu onéreux
- Développement d'un dispositif mobile
  - Expérimentation en cours au CHU de Toulouse concernant la parole

# 1<sup>re</sup> Journée Scientifique d'Orthophonie

## - Vendredi 22 octobre 2021 -



## Mesure de l'intelligibilité après cancer oral ou oropharyngé par un système de reconnaissance automatique de la parole

Mathieu Balaguer,  
Lucile Gelin, Virginie Woisard, Jérôme Farinas, Julien Pinguier

# Références

Balaguer, M., Boisguérin, A., Galtier, A., Gaillard, N., Puech, M., & Woisard, V. (2019). Assessment of impairment of intelligibility and of speech signal after oral cavity and oropharynx cancer. *European Annals of Otorhinolaryngology, Head and Neck Diseases*, 136(5), 355–359. <https://doi.org/10.1016/j.anrol.2019.05.012>

Balaguer, M., Pommée, T., Farinas, J., Pinquier, J., Woisard, V., & Speyer, R. (2020). Effects of oral and oropharyngeal cancer on speech intelligibility using acoustic analysis: Systematic review. *Head & Neck*, 42(1), 111–130. <https://doi.org/10.1002/hed.25949>

Barrett, W. L., Gluckman, J. L., Wilson, K. M., & Gleich, L. L. (2004). A comparison of treatments of squamous cell carcinoma of the base of tongue: surgical resection combined with external radiation therapy, external radiation therapy alone, and external radiation therapy combined with interstitial radiation. *Brachytherapy*, 3(4), 240–245. <https://doi.org/10.1016/j.brachy.2004.09.002>

Borggreven, P. A., Verdonck-De Leeuw, I. M., Muller, M. J., Heiligers, M. L. C. H., De Bree, R., Aaronson, N. K., & Leemans, C. R. (2007). Quality of life and functional status in patients with cancer of the oral cavity and oropharynx: Pretreatment values of a prospective study. *European Archives of Oto-Rhino-Laryngology*, 264(6), 651–657. <https://doi.org/10.1007/s00405-007-0249-5>

Colangelo, L. A., Logemann, J. A., & Rademaker, A. W. (2000). Tumor Size and Pretreatment Speech and Swallowing in Patients with Resectable Tumors. *Otolaryngology—Head and Neck Surgery*, 122(5), 653–661. [https://doi.org/10.1016/S0194-5998\(00\)70191-4](https://doi.org/10.1016/S0194-5998(00)70191-4)

DeNittis, A. S., Machtay, M., Rosenthal, D. I., Sanfilippo, N. J., Lee, J. H., Goldfeder, S., Chalian, A. A., Weinstein, G. S., & Weber, R. S. (2001). Advanced oropharyngeal carcinoma treated with surgery and radiotherapy: Oncologic outcome and functional assessment. *American Journal of Otolaryngology*, 22(5), 329–335. <https://doi.org/10.1053/ajot.2001.26492>

Fex, S. (1992). Perceptual evaluation. *Journal of Voice*, 6(2), 155–158.

Gelin, L., Daniel, M., Pinquier, J., & Pellegrini, T. (2021). End-to-end acoustic modelling for phone recognition of young readers. <https://www.lalilo.com/>

Hustad, K. C. (2008). The Relationship Between Listener Comprehension and Intelligibility Scores for Speakers With Dysarthria. *Journal of Speech, Language, and Hearing Research*, 51(3), 562–573. [https://doi.org/10.1044/1092-4388\(2008/040\)](https://doi.org/10.1044/1092-4388(2008/040))

Knuijt, S., Kalf, J. G., van Engelen, B. G. M., de Swart, B. J. M., & Geurts, A. C. H. (2017). The Radboud Dysarthria Assessment: Development and Clinimetric Evaluation. *Folia Phoniatrica et Logopaedica*, 69(4), 143–153. <https://doi.org/10.1159/000484556>

Lindblom, B. (1990). On the Communication Process: Speaker-Listener Interaction and the Development of Speech. *Augmentative and Alternative Communication*, 6(4), 220–230. <https://doi.org/10.1080/07434619012331275504>

Middag, C., Martens, J. P., Van Nuffelen, G., & De Bodt, M. (2009). Automated Intelligibility Assessment of Pathological Speech Using Phonological Features. *Eurasip Journal on Advances in Signal Processing*, 2009. <https://doi.org/10.1155/2009/629030>

# Références

Mlynarek, A., Rieger, J., Harris, J., O'Connell, D., Al-Qahtani, K., Ansari, K., Chau, J., & Seikaly, H. (2008). Methods of functional outcomes assessment following treatment of oral and oropharyngeal cancer: review of the literature. *Journal of Otolaryngology - Head & Neck Surgery*, 37(1), 2–10. <https://doi.org/10.2310/7070.2008.1001>

Pernon, M., Lévéque, N., Delvaux, V., Assal, F., Borel, S., Fougeron, C., Trouville, R., & Laganaro, M. (2020). MonPaGe, un outil de screening francophone informatisé d'évaluation perceptive et acoustique des troubles moteurs de la parole (dysarthries, apraxie de la parole). *Rééducation Orthophonique*, 281(January), 169–198.

Pommée, T., Balaguer, M., Mauclair, J., Pinquier, J., & Woisard, V. (2021a). Assessment of adult speech disorders: current situation and needs in French-speaking clinical practice. *Logopedics Phoniatrics Vocology*, 0(0), 1–15. <https://doi.org/10.1080/14015439.2020.1870245> Pommée, T., Balaguer, M., Mauclair, J., Pinquier, J., & Woisard, V. (2021b). Intelligibility and comprehensibility: A Delphi consensus study. *International Journal of Language & Communication Disorders*, 1–44. <https://doi.org/10.1111/1460-6984.12672>

Povey, D., Cheng, G., Wang, Y., Li, K., Xu, H., Yarmohammadi, M., & Khudanpur, S. (2018). Semi-Orthogonal Low-Rank Matrix Factorization for Deep Neural Networks. *Interspeech 2018, 2018-Septembre(2)*, 3743–3747. <https://doi.org/10.21437/Interspeech.2018-1417>

Prins, R., & Bastiaanse, R. (2004). Analysing the spontaneous speech of aphasic speakers. *Aphasiology*, 18(12), 1075–1091. <https://doi.org/10.1080/0268703044000534>

Stelzle, F., Knipfer, C., Schuster, M., Bocklet, T., Nöth, E., Adler, W., Schempf, L., Vieler, P., Riemann, M., Neukam, F. W., & Nkenke, E. (2013). Factors influencing relative speech intelligibility in patients with oral squamous cell carcinoma: A prospective study using automatic, computer-based speech analysis. *International Journal of Oral and Maxillofacial Surgery*, 42(11), 1377–1384. <https://doi.org/10.1016/j.ijom.2013.05.021>

Tibshirani, R. (1996). Regression Shrinkage and Selection Via the Lasso. *Journal of the Royal Statistical Society: Series B (Methodological)*, 58(1), 267–288. <https://doi.org/10.1111/j.2517-6161.1996.tb02080.x>

Wang, D., & Zheng, T. F. (2015). Transfer learning for speech and language processing. *2015 Asia-Pacific Signal and Information Processing Association Annual Summit and Conference (APSIPA)*, 1225–1237. <https://doi.org/10.1109/APSIPA.2015.7415532>

Xu, H., Povey, D., Mangu, L., & Zhu, J. (2011). Minimum Bayes Risk decoding and system combination based on a recursion for edit distance. *Computer Speech & Language*, 25(4), 802–828. <https://doi.org/10.1016/j.csl.2011.03.001>